

5. Кубенко В.Д. Нестационарное взаимодействие элементов конструкций со средой / В.Д.Кубенко. – К.: Наук.думка, 1979. – 184с.
6. Коваленко А.П. Исследование практической сходимости метода итераций при математическом моделировании динамических процессов в цилиндрической оболочке / А.П.Коваленко // Вестник Херсонского национального технического университета. – 2008. – Вып. 2(31). – С.240-244.
7. Коваленко А.П. Исследование практической сходимости численного обращения преобразования Лапласа-Карсона при математическом моделировании динамических процессов в цилиндрической оболочке / А.П.Коваленко // Вестник Херсонского национального технического университета. – 2009. – Вып. 2(35). – С.236-240.
8. Коваленко А.П. О применимости интегрального преобразования Лапласа-Карсона при математическом моделировании переходных процессов в цилиндрических оболочках / А.П.Коваленко // Вестник Херсонского национального технического университета. – 2010. – Вып. 3(39). – С.213-217.
9. Галимов К.З. Основы нелинейной теории тонких оболочек / К.З.Галимов. – Казань: Изд-во Казанского ун-та, 1975. – 326с.
10. Седов Л.И. Механика сплошной среды / Л.И.Седов. – М.: Наука, 1976. – Т.1. – 535с.
11. Нигул У.К. О применимости приближенных теорий при переходных процессах деформации круговых цилиндрических оболочек / У.К.Нигул // VI Всес. конф. по теории оболочек и пластинок: труды. – М.: Наука, 1966. – С.593-599.
12. Голубева О.В. Курс механики сплошных сред / О.В.Голубева. – М.: Высшая школа, 1972. – 368с.
13. Ильгамов М.А. Граничные условия на поверхности контакта оболочки с жидкостью в эйлерово-лагранжевой форме / Ильгамов М.А. // X всесоюзн. конф. по теории оболочек и пластин, Кутаиси, 1975г.: труды. – Тбилиси: Мецниераба, 1975. – С.170-180.
14. Слепян Л.И. Нестационарные упругие волны / Л.И.Слепян. – Л.: Судостроение, 1972. – 374с.
15. Григолюк Э.И. Механика твердых деформируемых тел / Э.И.Григолюк, И.Т.Селезов // Т.5. – М.: ВИНТИ, 1973. – 272с.

Поступила в редколлегию 19.06.2015.

УДК 539.3

КИРИЛЮК В.С., д.физ.-мат.н., вед. науч. сотр.  
ЛЕВЧУК О.И., к.физ.-мат.н., ст. науч. сотр.

Институт механики им. С.П.Тимошенко НАН Украины

### **КОНТАКТНОЕ ВЗАИМОДЕЙСТВИЕ ПЬЕЗОЭЛЕКТРИЧЕСКОГО ПОЛУПРОСТРАНСТВА С ЖЕСТКОЙ ОСНОВОЙ, СОДЕРЖАЩЕЙ ВЫЕМКУ КРУГОВОГО СЕЧЕНИЯ, ПРИ СЖАТИИ**

**Введение.** Широкое применение пьезоэлектрических материалов, которые отличаются значительной хрупкостью, стимулирует интерес к изучению и анализу распределений силовых и электрических полей в электроупругих телах вблизи концентраторов напряжений [1-6]. В то же время, рассмотрение пространственных задач электроупругости сопряжено со значительными математическими трудностями, поскольку исходная система уравнений для определения электрического и напряженного состояний представляет собой связанную систему дифференциальных уравнений [4]. Решению контактных задач для электроупругих тел с учетом связанности силовых и электрических полей посвящены работы [4-6] и др.

В настоящей работе исследовано контактное взаимодействие (при условиях гладкого контакта) пьезоэлектрического полупространства с жесткой основой, содержащей осесимметричную пологую выемку, при сжатии тел. Задача электроупругости рассмотрена в предположении, что поверхность раздела двух тел расположена в плоскости изотропии пьезоэлектрического материала. С помощью гармонических потенциалов, зависящих от величины зазора между телами при контакте, получено точное решение задачи, найдены геометрические размеры выемки в результате контактного взаимодействия. Как частные случаи из полученного решения задачи электроупругости следуют соответствующие параметры контакта для упругого трансверсально-изотропного полупространства, а также для упругого изотропного тела [7].

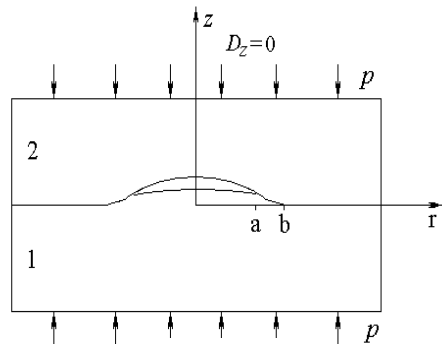


Рисунок 1

**Постановка задачи.** Рассмотрим контактное взаимодействие при сжатии электроупругого трансверсально-изотропного полупространства (тело 1) с жесткой основой (тело 2) (рис.1), что содержит пологую осесимметричную выемку, форма которой описывается выражением

$$f(r) = h_0(1 - r^2 / b^2)^{3/2}, \quad r \leq b, \quad (h_0 \ll b). \quad (1)$$

Предполагается, что плоскость контакта расположена в плоскости изотропии пьезоэлектрического материала, и поверхность полупространства является неэлектропроводной (не содержит электропроводного покрытия). Полагается также, что к телам приложены сжимающие усилия  $p$  и между телами имеет место гладкий (без трения) контакт. Поскольку в жестком теле содержится выемка, то контакт осуществляется не по всей поверхности  $z = 0$ , а по некоторой ее части  $r > a$ , где  $a$  – неизвестный радиус области контакта (рис.1), который зависит от значений усилий  $p$ , геометрии первоначальной выемки, свойств электроупругого полупространства. Дополнив функцию  $f(r)$  нулевым значением в области  $r > b$ , получим

$$f(r) = \begin{cases} h_0(1 - r^2 / b^2)^{3/2}, & r \leq b; \\ 0, & r > b. \end{cases} \quad (2)$$

Воспользовавшись суперпозицией состояний, первое из которых – сжатие вдоль оси  $Oz$ , т.е.  $\sigma_{zz} = -p$ ,  $D_z = 0$ , для второго электроупругого получаем следующие граничные условия в плоскости  $z = 0$ :

$$\begin{aligned} \sigma_{zz} &= 0, \quad 0 < r < a; \quad u_z^{(1)} = f(r), \quad a < r < \infty; \\ \sigma_{zr} &= 0, \quad 0 < r < \infty; \quad \sigma_{zz} = p, \quad a < r < \infty; \\ D_z &= 0, \quad 0 < r < \infty, \end{aligned} \quad (3)$$

Отметим, что последнее граничное условие по электрическому состоянию соответствует случаю неэлектропроводной поверхности полупространства. Также при удалении от области контакта имеют место условия на бесконечности

$$\sigma_{zz} \rightarrow -p, \quad D_z \rightarrow 0, \quad \sigma_{zr} \rightarrow 0 \quad \text{при } z \rightarrow -\infty. \quad (4)$$

**Основные соотношения.** Уравнения статики для электроупругого трансверсально-изотропного тела имеют вид [4]

$$\begin{aligned}
 & c_{11}^E u_{x,xx} + \frac{1}{2}(c_{11}^E - c_{12}^E)u_{x,yy} + c_{44}^E u_{x,zz} + \frac{1}{2}(c_{11}^E + c_{12}^E)u_{y,xy} + (c_{13}^E + c_{44}^E)u_{z,xz} + \\
 & + (e_{31} + e_{15})\Psi_{,xz} = 0; \\
 & c_{11}^E u_{y,yy} + \frac{1}{2}(c_{11}^E - c_{12}^E)u_{y,xx} + c_{44}^E u_{y,zz} + \frac{1}{2}(c_{11}^E + c_{12}^E)u_{x,xy} + (c_{13}^E + c_{44}^E)u_{z,yz} + \\
 & + (e_{31} + e_{15})\Psi_{,yz} = 0; \\
 & (c_{13}^E + c_{44}^E)(u_{x,xz} + u_{y,yz}) + c_{44}^E(u_{z,xx} + u_{z,yy}) + c_{33}^E u_{z,zz} + \\
 & + e_{15}(\Psi_{,xx} + \Psi_{,yy}) + e_{33}\Psi_{,zz} = 0.
 \end{aligned} \tag{5}$$

В приведенных уравнениях  $c_{11}^E, c_{12}^E, c_{13}^E, c_{33}^E, c_{44}^E$  – независимые модули упругости;  $e_{31}, e_{15}, e_{33}$  – пьезомодули;  $\varepsilon_{11}^S, \varepsilon_{33}^S$  – диэлектрические проницаемости.

Решение системы уравнений (5) можно согласно [4] выразить через четыре потенциальные функции  $\Phi_j$  ( $j = \overline{1, 4}$ )

$$u_x = \sum_{j=1}^3 \Phi_{j,x} + \Phi_{4,y}; \quad u_y = \sum_{j=1}^3 \Phi_{j,y} - \Phi_{4,x}; \quad u_z = \sum_{j=1}^3 k_j \Phi_{j,z}; \quad \Psi = \sum_{j=1}^3 l_j \Phi_{j,z}, \tag{6}$$

где  $k_j, l_j$  – некоторые постоянные, а функции  $\Phi_j$  удовлетворяют уравнениям

$$\Phi_{j,xx} + \Phi_{j,yy} + \nu_j \Phi_{j,zz} = 0 \quad (j=1, 2, 3), \tag{7}$$

где  $\nu_4 = 2c_{44}^E / (c_{11}^E - c_{12}^E)$ , значения  $\nu_i$  ( $i = 1, 2, 3$ ) являются корнями следующего алгебраического уравнения третьего порядка [4]:

$$\begin{aligned}
 & \nu^3(A_1 B_2 - C_1 D_2) + \nu^2(A_1 B_3 + A_2 B_2 - C_1 D_3 - C_2 D_2) + \\
 & + \nu(A_2 B_3 + A_3 B_2 - C_2 D_3 - C_3 D_2) + A_3 B_3 - C_3 D_3 = 0.
 \end{aligned} \tag{8}$$

Значения  $k_j, l_j$  ( $j = 1, 2, 3$ ) в формулах (6) связаны с величинами  $\nu_j$  следующими соотношениями:

$$\frac{a_j + c_{13}^E k_j + e_{31} l_j}{c_{11}^E} = \frac{c_{33}^E k_j + e_{33} l_j}{c_{13}^E + a_j} = \frac{c_{33}^E k_j - \varepsilon_{33}^S l_j}{e_{31} + d_j} = \nu_j \quad (j = 1, 2, 3), \tag{9}$$

$$a_j = c_{44}^E(1 + k_j) + e_{15} l_j; \quad d_j = e_{15}(1 + k_j) - \varepsilon_{11}^S l_j \quad (j = 1, 2, 3, 4). \tag{10}$$

При введении обозначений  $z_j = zn_j^{-1/2}$  ( $j = \overline{1, 4}$ ) функции  $\Phi_1(x, y, z_1), \Phi_2(x, y, z_2), \Phi_3(x, y, z_3), \Phi_4(x, y, z_4)$  становятся гармоническими функциями в соответствующих системах координат.

**Метод решения.** При построении решения граничной задачи электроупругости воспользуемся представлением решений (6). При этом потенциальные функции возьмем в виде гармонических потенциалов специального вида

$$\Phi_i(x, y, z_i) = -\frac{\alpha_i^*}{2\pi} \left( \iint_{S_1} \frac{-h(\vec{\xi})d_{\xi}S}{\sqrt{(x-\xi_1)^2 + (y-\xi_2)^2 + z_i^2}} + \iint_{S_0} \frac{r(\vec{\xi})d_{\xi}S}{\sqrt{(x-\xi_1)^2 + (y-\xi_2)^2 + z_i^2}} \right), \quad (11)$$

где  $h(\xi_1, \xi_2) = h_1(1 - \xi_1^2/a^2 - \xi_2^2/a^2)^{3/2}$ ,  $r(\xi_1, \xi_2) = h_0(1 - \xi_1^2/b^2 - \xi_2^2/b^2)^{3/2}$ ,  $S_1$  и  $S_0$  – круговые площадки радиусов  $a$  и  $b$  соответственно (рис.1). Также положим  $\Phi_4^{(2)} = 0$ . Постоянные  $\alpha_j^*$ , входящие в (11), определим из системы трех линейных уравнений

$$\begin{aligned} \sum_{j=1}^3 \alpha_j \left( c_{44}^E (1 + k_j) + e_{15} l_j \right) &= 1; \quad \sum_{j=1}^3 \alpha_j \left( c_{44}^E (1 + k_j) + e_{15} l_j \right) / \sqrt{\nu_j} = 0; \\ \sum_{j=1}^3 \alpha_j \left( e_{15} (1 + k_j) - \varepsilon_{11}^S l_j \right) &= 0. \end{aligned} \quad (12)$$

Пока неизвестными остаются такие параметры:  $a$  – значения радиуса площадки контакта (рис. 1);  $h_1$  – максимальная высота зазора в результате контактного взаимодействия. Их значения определим из решения контактной задачи.

Заметим, что идея применения потенциалов вида (11), что связаны с величиной контактного зазора, близка приему использования скачков перемещений для трещины нормального отрыва для описания напряженного состояния в ее окрестности. Принципиальное отличие заключается в том, что поверхность трещины задана, а площадка контакта  $S_1$  и ее радиус  $a$  – заранее не известны и определяются в процессе решения задачи. Для контактных задач в упругом изотропном теле это указано в [8].

С помощью потенциальных функций (11), учитывая (12) и удовлетворяя граничным условиям задачи, приходим к решению интегро-дифференциального уравнения

$$\left( \frac{\partial^2}{\partial x^2} + \frac{\partial^2}{\partial y^2} \right) \iint_{S_1} \frac{h(\vec{\xi})d_{\xi}S}{\sqrt{(x-\xi_1)^2 + (y-\xi_2)^2 + z_i^2}} = - \left( \frac{\partial^2}{\partial x^2} + \frac{\partial^2}{\partial y^2} \right) \iint_{S_0} \frac{r(\vec{\xi})d_{\xi}S}{\sqrt{(x-\xi_1)^2 + (y-\xi_2)^2 + z_i^2}} + 2\pi M^*,$$

$$(x, y) \in S_1. \quad (13)$$

Значение  $M^* = \sum_{j=1}^3 \alpha_j^* k_j / \sqrt{\nu_j}$ .

После дифференцирования воспользуемся значениями следующих интегралов [9]:

$$\iint_S \frac{\sqrt{1 - \xi_1^2/a^2 - \xi_2^2/a^2}}{\left[ (x - \xi_1)^2 + (y - \xi_2)^2 \right]^{3/2}} d_{\xi}S = -\frac{\pi^2}{a};$$

$$\iint_S \frac{\xi_1^2 \sqrt{1 - \xi_1^2/a^2 - \xi_2^2/a^2}}{\left[ (x - \xi_1)^2 + (y - \xi_2)^2 \right]^{3/2}} d_{\xi}S = \frac{\pi^2}{16a} (4a^2 - 33x^2 - 3y^2);$$

$$\iint_S \frac{\xi_2^2 \sqrt{1 - \xi_1^2/a^2 - \xi_2^2/a^2}}{\left[ (x - \xi_1)^2 + (y - \xi_2)^2 \right]^{3/2}} d\xi S = \frac{\pi^2}{16a} (4a^2 - 3x^2 - 33y^2).$$

Приравнивая коэффициенты при соответствующих степенях декартовых координат, получаем

$$a = b \sqrt{1 - \frac{4pbM^*}{3\pi h_0}}; h_1 = h_0 \left( 1 - \frac{4pbM^*}{3\pi h_0} \right)^{3/2}. \quad (14)$$

Из формул (14) по известным размерам первоначальной выемки (параметры  $b$  и  $h_0$ ), значению сжимающих усилий  $p$ , девяти независимых значениях электроупругих постоянных (входят через значение  $M^*$ ) находим значение радиуса контакта  $a$  и максимальную высоту зазора (после контактного взаимодействия)  $h_1$ . Также, приравняв значение  $a$  к нулю, находим критическое значение нагрузки  $p^* = \frac{3\pi h_0}{4bM^*}$ , при которой выемка в жестком теле полностью заполняется электроупругим материалом.

При переходе к чисто упругому трансверсально - изотропному материалу имеем

$$M^* \rightarrow M^{Trans} = \frac{c_{11} (n_1^{1/2} + n_2^{1/2})(c_{13} + c_{44})}{c_{44} (c_{11}n_1 + c_{13})(c_{11}n_2 + c_{13})}, \text{ где } n_1, n_2 - \text{ корни квадратного уравнения } c_{11}c_{44}n^2 - [c_{44}^2 + c_{33}c_{11} - (c_{13} + c_{44})^2]n + c_{33}c_{44} = 0, \text{ которые зависят от}$$

упругих свойств материала. Заменяв в выражениях (14) значение  $M^*$  величиной  $M^{Trans}$ , получаем параметры контакта чисто упругого трансверсально-изотропного полупространства с жесткой основой (с выемкой). Дальнейший предельный переход к упругому изотропному материалу приводит  $M^{Trans} \rightarrow (1 - \nu)/\mu$ . При взаимодействии упругого изотропного полупространства с жесткой основой, содержащей осесимметричную выемку (частный случая рассмотренной контактной задачи), заменив в формулах (14) величину  $M^*$  значением  $(1 - \nu)/\mu$ , приходим к полному совпадению результатов с данными [7], найденными с помощью сведения контактной задачи к решению парных интегральных уравнений.

**Выводы.** Таким образом, в работе на основе использования гармонических потенциалов специального вида найдено точное решение задачи контактного взаимодействия электроупругого полупространства с жесткой основой, содержащей осесимметричную выемку, при сжатии. В явном виде получены геометрические параметры зазора, образовавшегося в результате контакта, определено критическое значение сжатия, при котором выемка полностью исчезает (заполняется материалом).

#### ЛИТЕРАТУРА

1. Chen W.Q. 3D point force solution for a permeable penny-shaped crack embedded in an infinite transversely isotropic piezoelectric medium / Chen W.Q, Lim C.W. // Int. J. Fract. – 2005. – **131**. – N 3. – P.231-246.
2. Kaloerov S.A. Determination of intensity factors for stresses, induction and field strength in multi-connected electro-elastic anisotropic media / Kaloerov S.A. // Int. Appl. Mech. – 2007. – **43**, № 6. – P.77-84.

3. Li X.F. Three-Dimensional Electroelastic Analysis of a Piezoelectric Analysis of a Piezoelectric Material With a Penny-Shaped Dielectric Crack / Li X.F., Lee K.Y. // J. Appl. Mech. – 2004. – 71, N 6. – P.866-877.
4. Podil'chuk Yu.N. Exact analytical solutions of static electroelastic and thermoelectroelastic problems for a transversely isotropic body in curvilinear coordinate systems / Podil'chuk Yu.N. // Int. Appl. Mech. – 2003. – 39, № 2. – P.132-170.
5. Кирилюк В.С. О влиянии температурного поля на контактное взаимодействие нагретого плоского эллиптического штампа с пьезокерамическим полупространством / Кирилюк В.С. // Теоретическая и прикладная механика. – 2009. – Вып.46. – С.29-35.
6. Кирилюк В.С. Трехмерная контактная задача для двух пьезокерамических тел с учетом тепловыделения / Кирилюк В.С., Левчук О.И. // Теоретическая и прикладная механика. – 2011. – Вып. 3(49). – С.28-37.
7. Монастирський Б.Є. Осесиметрична контактна задача для півпросторів з геометричним збуренням поверхні / Б.Є.Монастирський // Фізико-хімічна механіка матеріалів. – 1999. – № 6. – С.22-26.
8. Кіт Г.С. Просторові контактні задачі для пружного півпростору і жорсткої основи з поверхневими виїмками / Кіт Г.С., Мартиняк Р.М. // Математичні методи та фізико-механічні поля. – 1999. – 42, № 6. – С.7-11.
9. Хай М.В. Двумерные интегральные уравнения ньютоновского потенциала и их приложения / М.В.Хай. – К.: Наук. думка, 1993. – 256с.

Поступила в редколлегию 23.06.2015.

УДК 539.3

КИРИЛЮК В.С., д.физ.-мат.н., вед. науч. сотр.  
ЛЕВЧУК О.И., к.физ.-мат.н., ст. науч. сотр.

Институт механики им. С.П.Тимошенко НАН Украины

## СТАТИЧЕСКОЕ РАВНОВЕСИЕ ОРТОТРОПНОГО ТЕЛА С ПРОИЗВОЛЬНО ОРИЕНТИРОВАННОЙ ЭЛЛИПТИЧЕСКОЙ ТРЕЩИНОЙ ПРИ РАСТЯЖЕНИИ И ИЗГИБЕ

**Введение.** Пространственные задачи механики разрушения для упругих изотропных тел с дискообразными или эллиптическими трещинами изучались в работах [1-3] и др., а для трансверсально-изотропных тел с трещинами – в [4, 5]. Отметим, что при рассмотрении задач для трансверсально-изотропных материалов, в основном, предполагалось, что плоские трещины расположены в плоскостях изотропии трансверсально-изотропного материала. Такое ограничение на ориентацию плоских трещин существенно упрощает нахождение решений задач с помощью представлений решений уравнений статики трансверсально-изотропного тел посредством гармонических функций. Однако, для других ориентаций плоских трещин в трансверсально-изотропном материале, как и для случая упругого ортотропного материала с трещиной, задачи механики разрушения существенно усложняются. Возникающие при этом трудности математического характера не позволяют использовать методы и подходы, успешно применяемые при специальной ориентации плоских трещин (в плоскостях изотропии материала).

Задачи механики разрушения для трещин круговой или эллиптической формы в ортотропных телах, расположенных в главных плоскостях ортотропии материала, исследованы в [6, 7] с помощью применения тройного преобразования Фурье, Фурье-